



ارائه یک مدل همگن برای لیزر میکروکرهای آغشته به اریبیم با پس خوران بیرونی

راضیه تقی آبادی^(۱)، محمد واحدی^(۱)، شهرام کیوانی نیا^(۱) و علیرضا بهرام پور^(۱)

دانشگاه صنعتی شریف^(۲)، دانشگاه ولی‌عصر رفسنجان^(۲)

چکیده - از نزدیک شدن لیزر میکروکرهای آغشته به اریبیم به یک آینه خارجی به علت ایجاد تقارن آینه‌ای مودهای جدید زوج و فرد شکل می‌گیرند بسته به فاصله آینه از کره فرکانس تشیدید این مودهای از عدم متناظر شان در عدم حضور آینه تغییر می‌یابد. فرکانس تشیدید مود زوج به سمت قرمز و فرکانس مود فرد به سمت آبی تغییر مینماید. در این مقاله یک مدل لیزر همگن برای محاسبه فرکانس تشیدید مودهای زوج و فرد و شرط نوسان هر کدام از آنها ارائه شده است.

کلید واژه- لیزر میکروکرهای، لیزر Er، میکروکرهای میکروتشیدیدگر

کد PACS ۱۴۰-۰ ۱۴۰-

۱- مقدمه

میکرو مشدد های عایق به لحاظ کاربری وسیعشان در مدارهای انتگره نوری در دو دهه گذشته مورد توجه ویژه قرار گرفته اند [۱]-[۲]. از آنجا که بر همکنش میکرو مشدد های عایق بخصوص میکروکرهای میکرو اطرافشان چشم گیر است بعنوان حسگرهای شیمیائی و بیولوژی مورد تجزیه و تحلیل و استفاده واقع شده اند [۳]-[۴].

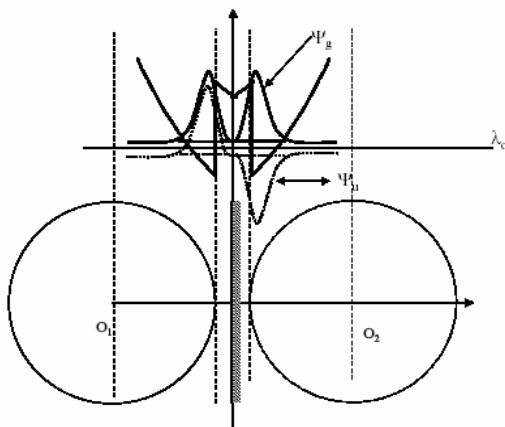
از آنجا که فاکتور مرغوبیت میکروکرهای میکرو تورئید ها در میان سایر میکرو مشدد های عایق از مرتبه فوق العاده بالاتر (10^{-9} - 10^{-11}) برخوردار است [۵] از میکروکرهای میکرو تورئید ها لیزر های با توان تحریک آستانه نوسان فوق العاده پائین طراحی و ساخته وارائه شده است [۶]-[۷].

بخشی از نور متناظر با مودهای تشیدیدی میکرو مشدد های عایق در خارج از میکرو مشدد های حضور دارند. بنابراین تحت تأثیر عوامل محیطی از قبیل ضربی شکست و جذب محیط اطراف قرار می گیرد. تغییر ضربی شکست و جذب محیط اطراف به ترتیب باعث تغییر فرکانس تشیدید و فاکتور مرغوبیت میکرو مشدد های میکرو می شود. در صورتی که از میکرو مشدد های لیزر ساخته شود تغییرات مذکور باعث تغییر در فرکانس لیزر و توان خروجی آن می گردد. برای افزایش

رسد

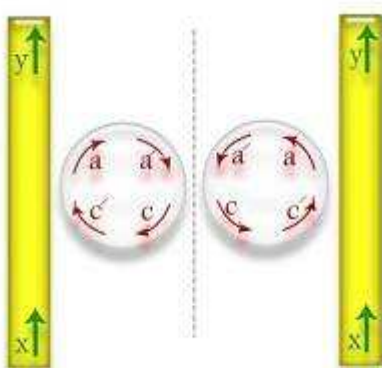
۱-۱- مدل ماتریسی برای محاسبه فرکانس تشیدید

برای محاسبه فرکانس تشیدید میکروکره همانند سایر تشیدید



شکل(۱): میدان میکرو کره در مقابل یک آینه فلزی

از آنجا که مجموعه جدید نسبت به صفحه $y-x$ تقارن دارد یعنی با تبدیل z به $-z$ - در ساختار سیستم تغییری حاصل نمی شود ویژه توابع باید توابع زوج یا فردی از z باشند. یعنی در سیستم مدهای جدیدی به سمت قرمز و آبی تشکیل میگردد. با فرض اینکه میکرو کره توسط فیبر نوری کشیده شده تحریک شود ویژه مودهای نزدیک دایره عظیمه متناظر با آن تحریک می شوند [۵] و مودهای جدید را مطابق شکل(۲) می توان از بر هم کنش میکرو کره و تصویر آن آورد.



شکل(۲): نمایش شماتیکی از اشاره مدد داخل میکرو کره و تصویر آن داخل آینه:

میدانهای داخل میکرو کره و تصویر آن را مطابق شکل(۲) نام گذاری می کنیم و رابطه بین میدان های ورودی x و میدان های خروجی آن y را به شکل زیر می توان بدست آورد.

گرها از معادلات ماکسول آغاز می شود. ابتدا معادله هلمهولتز در مختصات کروی توشه می شود و از نوشتن شرایط مرزی پیوستگی مؤلفه مماسی میدان الکتریکی و مؤلفه مماسی میدان مغناطیسی در مرز هوا و کره معادله مشخصه بدست می آید [۹].

به علت انحنای میکرو کره بخشی از انرژی به صورت تشعشعی از میکرو کره فاصله می گیرد. این پدیده افت خمس نامیده می شود هر چه شعاع انحنای کره کوچکتر و ضریب شکست آن کمتر باشد افت خمسی آن بیشتر خواهد بود. البته علاوه بر افتهای خمسی افتهای جذبی و پراکندگی وجود دارند که در حالت عادی نسبت به افت خمسی ناچیز می باشند [۱۰]. با توجه به فاکتور مرغوبیت بالای میکرو کره بخش موهومی فرکانس تشدید (ω) نسبت به بخش حقیقی (ρ) آن بسیار ناچیزو نسبت آن از مرتبه 10^4 می باشد. بنابر این بطور معمول با محاسبه فرکانس های تشدید از معادله مشخصه نمی توان قسمت موهومی آن را بدست آورد. بدین جهت از روش های مختلف اختلالی از قبیل روش جریان حجمی ضریب مرغوبیت حساب شده است [۵]. البته برای اجتناب از محاسبات عددی نسبتاً طولانی برای محاسبه قسمت حقیقی فرکانس تشدید با استفاده از روش های تقریبی رابطه تقریبی بدست آمده است [۱۱].

از حل معادله هلمهولتز توزیع میدانهای الکتریکی و مغناطیسی برای مودهای TM و TE محاسبه شده است [۵]. مودهای میکرو کره مشدد توسط سه عدد صحیح (n, l, m) مشخص می گردد همانند همه مسائل موجی خطی با تقارن کروی بستگی زاویه ای میدان با همانند های کروی $y_m^l(\theta, \phi)$ مشخص می شوند. بستگی شعاعی توسط توابع بسل کروی تعیین می گردد. بخش بیرونی میدان الکترومغناطیسی باعث بر هم کنش میدان با محیط اطرافش می شود.

در صورت قرار دادن آینه در مقابل میکرو کره مطابق شکل (۱) با استفاده از روش تصویر می توان مجموعه را معادل دو میکرو کره تزویج شده در نظر گرفت.



$$(5) \quad y = \frac{[-G_1 G_2 (-i\chi_2 + r_2)) + r_1]x}{1 - r_1 G_1 G_2 (-i\chi_2 + r_2)} \quad (1)$$

$$\frac{d\Delta N}{dt} = \frac{\sigma_p I_p}{\hbar\omega_p} (N - \Delta N) - 2\sigma_s (\Delta N) \frac{I_s}{\hbar\omega_s} - \frac{(N + \Delta N)}{\tau_{21}}$$

از حل معادله مذکور در حالت ماندگار تجمع معکوس (ΔN) بدست می‌آید.

$$(6) \quad \Delta N = N_2 - N_1 = \frac{\left(\frac{\sigma_p I_p}{\hbar\omega_p} - \frac{1}{\tau_{21}}\right)N}{\frac{\sigma_p I_p}{\hbar\omega_p} + 2\sigma_s \frac{I_s}{\hbar\omega_s} + \frac{1}{\tau_{21}}}$$

با توجه به اینکه انرژی مودها در میکرو کره در ناحیه مرزی قرار دارد، شدت لیزر در ناحیه مرزی را تقریباً به شکل یکنواخت در نظر گرفته و معادلات آهنگ تغییرات آن را در جهت انتشار به شکل زیر می‌نویسیم.

$$(7) \quad \frac{dI_s}{dz} = -\alpha I_s + \sigma_s \Delta N I_s$$

$$(8) \quad \frac{dI_p}{dz} = -\alpha I_p - \frac{\sigma_p N}{2} I_p + \frac{\sigma_p \Delta N}{2} I_p$$

از حل معادلات فوق برای نیمه بالا و پایین دایره عظیمه G2 و G1 برای پمپ و سیگنال بدست می‌آید.

۳-۱- نتایج عددی

با استفاده از رابطه (1) و ماکریمیم کردن نسبت فرکانس های تشدید میکرو کره قرار گرفته در نزدیکی آینه بدست می‌آید، تغییرات فرکانس های تشدید زوج بر حسب ضریب کوپلазر بین کره و تصویر آن (فاصله از آینه) در شکل (4) رسم شده است.

که در آن χ_1 و χ_2 به ترتیب ضریب تزویج بین فیبر و میکرو کره، و میکرو کره با تصویر آن می‌باشد. G1 و G2 به ترتیب ضریب بهره یا افت مختلط در نیمه حلقه بالاتر و پائینی می‌باشند.

فرکانس های تشدید در محل ماکریمیم و فرکانس های نوسان لیزر در محل قطب های می‌باشند. از صفر قراردادن قسمت موهومی قطب ها شرط نوسان لیزر بدست می‌آید.

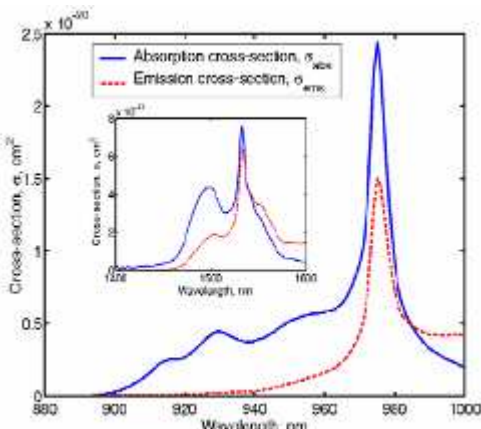
$$(3) \quad \omega_e = \frac{2m\pi c}{n_0 L} + \frac{c}{n_0 L} \tan^{-1} \frac{\chi_2}{r_2}$$

$$(4) \quad \omega_o = \frac{2m\pi c}{n_0 L} - \frac{c}{n_0 L} \tan^{-1} \frac{\chi_2}{r_2}$$

که در آن L طول دایره عظیمه و ω_e, ω_o به ترتیب فرکانس های زوج و فرد میکرو کره، c سرعت نور و m عدد صحیح می‌باشد.

۲-۱- معادلات آهنگ

از آفشتہ کردن میکرو کره شیشه ای به اربیم و تحریک توسط لیزر با طول موج ۹۸۰ گزار باعث گذار القائی در ناحیه ۱۵۵۰ می‌گردد. شکل (3) سطح مقطع گذار القائی اربیم را نمایش میدهد.

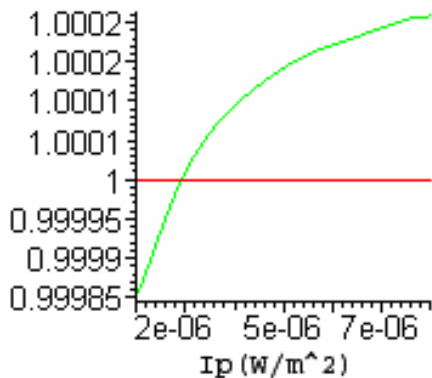


شکل (3): مقطع گذار القائی اربیم بر حسب طول موج

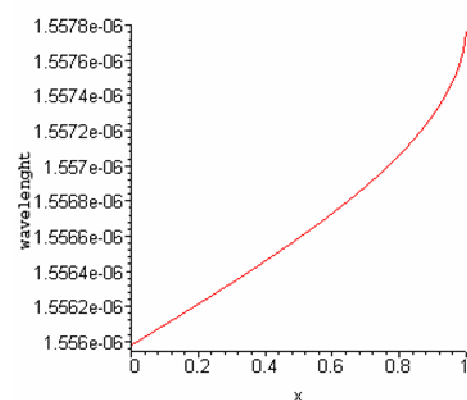
برای محاسبه بهره های G1 و G2 معادلات آهنگ را برای مدل دو ترازی می‌نویسیم.



را مساوی صفر قرار میدهیم) از شکل(۷) آستانه تحریک لیزر $2,8 \mu\text{W}$ محاسبه شده و در نتیجه توان لیزر خروجی از رابطه (۲) برابر $\mu\text{W} ۱,۷$ محاسبه می شود..



شکل(۷): نقطه قطع $rG_1(I_p)G_2(I_p)$ با ۱ نشان دهنده شدت پمپ برای آستانه تحریک است

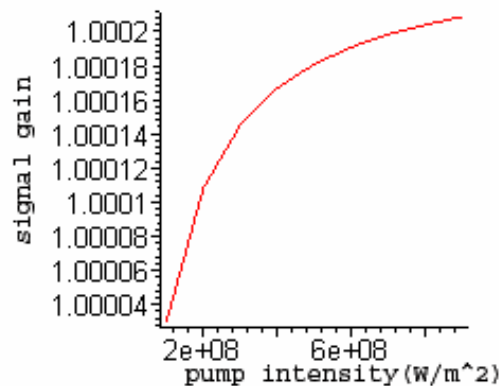


شکل(۴): طول موج تشدید بر حسب ضریب تزویج میکرده کره با تصویر خودش برای $m=212$

از حل معادلات (۷) و (۸) بهره مودهی مجموعه محاسبه و بر حسب شدت پمپ در شکل (۵) و (۶) برای نیمه بالا و پایین دایره عظیمه رسم شده است.

۲- نتیجه‌گیری

در این مقاله یک مدل ساده برای محاسبه فرکانس های کار یک لیزر میکرده ای آغازته به اربیم قرار گرفته در نزدیکی یک آینه ارائه شده است . نتایج حاصل از مدل ماتریسی ارائه شده با نتایج تجربی که قبلا منتشر شده منطبق می باشد. مدل معادلات آهنگ بخوبی مودهای نوسانی لیزر را پیش بینی می نماید.



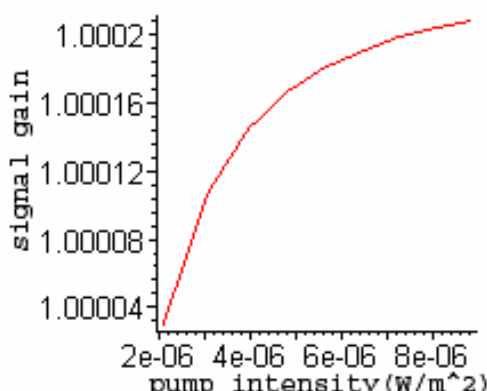
شکل(۵): بهره مد بر حسب شدت پمپ در نیمه بالای دایره عظیمه

سپاسگزاری

در صورت لزوم می توانید از افراد یا سازمان هائی که شما را در انجام پژوهش خود یاری کرده اند در این قسمت سپاسگزاری کنید.

مراجع

- [1] Linjie Zhou and Andrew W. Poon. "Fano resonance-based electrically reconfigurable add-drop filters in silicon microring resonator-coupled Mach-Zehnder interferometers," *Optics Letter*, vol.32, Issue7, pp.781-783.
- [2] Zexuan Qiang, Weidong Zhou, and Richard A. Soref "Optical add-drop filters based on photonic crystal ring



شکل(۶): بهره مد بر حسب شدت پمپ در نیمه پایین دایره عظیمه

با استفاده از شرط نوسان (قسمت حقیقی قطب متناظر با آن



- resonators," **Optics Express**, vol.15, Issue4, pp.1823-1831.
- [3] F.Vollomer, D.Braun, A.Libchaber, M.khoshima, I.teraoaka, and S.Arnold. "Portein by optical shift of a resonant microcavity," **Applied physics Letters**, 80(21):4057-4059, 200.
- [4] Niran Jan M. Hanumegowda, Ian M. white, Xuudong Fun. "Aqueous mercuric detection with microsphere optical ring resonator sensors," **Sensors and Actuators B**, 80120(2006)207-212
- [5] B.E.Little, J.p.Laine, and H.A.Haus., "Analytic theory of coupling from tapered fibers and half-blocks in to micro sphere resonators," **Journal of Lightwave Technology**, 17(4):704-715,1999
- [6] M.cai, opainter, K.J.vahala, and P.C.Sercel "Fiber-coupled Microsphere laser," **Optics letters**, 25(19):1430-1432,2000
- [7] Y.Yang, D.KArmani, and K.J.vahla "Fiber-coupled Microlaser on a chip," **Applied physics Letters**,83:825,2003
- [8] Burnki Min, Tobias Kippenberg, Lon Yang, and Kerry vahala. "Low threshold erbium-implanted toroidal microcavity laser," **Department of Applied Physics, California Institute of Technology Pasadena. ca91125**
- [9] Patric Feron, Carole Arqaud, Mohamed Boustimi, Gualtiero Nunzi-Conti, Giancarlo Righini, and Michel Mortier. "Integrated optics and photonic Integrated circuits," **SPIE, Bellingham, WA, 2004), 0277-786X.**
- [10] Thesis by Tobias Jan August Kippenberg. "Nonlinear optics in ultra-high-*Q* whispering-Gallery optical Microcavities." **California Institute of Technology Pasadena, 2004**
- [11] .C.C.Lam, P.T.Leung, and K.Young. "Explicit asymptotic formulas for the positions, widths, and strengths of resonances in mie scattering." **j.Opt.soc.Am.B**,vol.9.no.9/September 1992